

## 1. まえがき

前報<sup>1),2)</sup>までにおいて、コンクリートの破壊じん性評価における応力拡大係数 ( $K_{Ic}$  ( $kgf \cdot cm^{-1.5}$ )) の適用性を検討してきた。均質等方性の金属材料にくらべ、コンクリート材料における  $K_{Ic}$  は骨材容積比、水セメント比などの各種コンクリートパラメータにより影響を受けやすく、また切り欠き深さ比 ( $a/W$ ,  $a$ : 切り欠き深さ,  $W$ : 供試体高さ) によっても影響を受けることがわかった。特に、従来比較的均質等方性に近いセメントペーストおよびモルタルに対しては有効であろうとされている  $K_{Ic}$  も、 $a/W \approx 0.15$  付近以下の切り欠きに対しては大きく影響されることが明らかとなった。

本報告は、これらのこと考慮して セメントペーストおよびモルタルにおける  $K_{Ic}$  算定法の修正、および水セメント比、骨材容積比などの影響を明らかにするため 基礎的実験をおこなったものをまとめたものである。

## 2. 使用材料および実験方法

セメントは普通ポルトランドセメント、細骨材は標準砂、川砂（最大寸法 5 mm, 2.5 mm の 2 種類）を用いた。供試体は  $4 \times 4 \times 16 \text{ cm}$  と  $10 \times 10 \times 40 \text{ cm}$  の 2 種類を用い、表-1 に代表的使用配合を示した。切り欠きは、打ち込み時に硬質ビニール製仕切り板（厚さ 0.5 mm）を用い、脱型時にはすして所定の切り欠きを導入した。供試体は 28 日間標準養生をおこなったのち、3 等分点載荷法により曲げ載荷した。

### 3. 実験結果および考察

### 1) $K_I c$ 算定法の修正

従来の方法<sup>3)</sup>により求めた  $K_{Ic}$  と  $a/W$  との関係を示す。

$$K_I c = \frac{6 M \sqrt{a}}{B W^2} \cdot Y \quad Y = 1.99 - 2.47(a/W) + 12.97(a/W)^2 - 23.17(a/W)^3 + 24.80(a/W)^4 \dots \dots \dots (1)$$

ただし、M：切り欠き部の曲げモーメント B：供試体幅 a, w：前述

本実験に用いたすべての配合において、図-1と同様な傾向が見られた。そこで、 $K_{IC}$  の平均値を比較的安定した値を示している  $a/W = 0.15 \sim 0.50$  の範囲で求め、  $a/W \approx 0.15$  付近以下の切り欠きに対して、コンクリート材料中の潜在欠陥群のうちの 実効き裂長さ<sup>4)</sup> ( $a_0$ ) を求め、その一例を図-2に示した。

また、 $a_0$  を考慮した場合の  $K_{IC}$  の修正値を図-3に、 $K_{IC}$  を用いた  $P_{max}$  の推定値を図-4に示した。これらから、 $a_0$  の概念を導入することにより 比較的安定した  $K_{IC}$  よび  $P_{max}$  が得られることがわかった。

## 2) 水セメント比 ( $w/c$ ) および骨材容積比 ( $V_s$ ) による影響

図-5に  $K_{IC}$  と  $w/c$  の関係を示す。  $w/c$  の増加とともに、  $K_{IC}$  は低下の傾向を示し、セメントペーストにおいては、その低下の割合は  $1.769 \text{ kg f} \cdot \text{cm}^{-1.5} / \%$  であり、モルタルにおいては  $0.426 \text{ kg f} \cdot \text{cm}^{-1.5} / \%$  とセメントペーストの約  $\frac{1}{4}$  程度の値を示し、細骨材混入によるじん性增加の影響によるものと思われる。

また、 $K_{IC}$  と  $V_s$  との関係を図-6 に示す。骨材容積比の増加にともなって、 $K_{IC}$  も増大する傾向を示し、本実験の範囲内においては 増加の割合は  $1.592 \text{ kgf} \cdot \text{cm}^{-1.5} / \%$  程度の値を示した。

#### 4. まとめ

応力拡大係数におよぼすコンクリートパラメータの影響を明らかにするために、セメントペーストおよびモルタルにおける、水セメント比および骨材容積比などの影響について実験し、その基礎的資料を得た。

また、コンクリート材料中の潜在き裂群のうちの実効き裂長さ( $a_0$ )を考慮した場合の有意性を確認したが、無き裂材への拡張などについては次報にゆずる。

表-1 使用配合 (重量配合比)

配合番号	セメント	標準砂 5 mm	川砂 2.5 mm	水セメント比 (%)	フロー値 (mm)	圧縮強度 (kgf/cm <sup>2</sup> )	K <sub>IC</sub> (kgf·cm <sup>-1.5</sup> )
1	1	—	—	—	30	164	53.1
2	1	—	—	—	40	230	504
3	1	2	—	—	65	225	325
4	1	—	2	—	65	268	249
5	1	—	—	2	65	258	207
							44.9

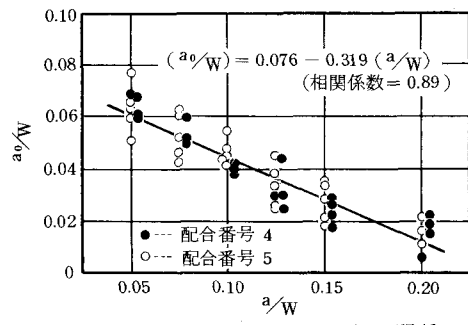


図-2  $a_0/W$  と  $a/W$ との関係

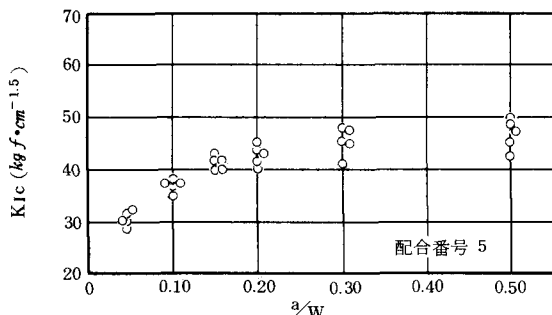


図-1  $K_{IC}$  と  $a/W$ との関係

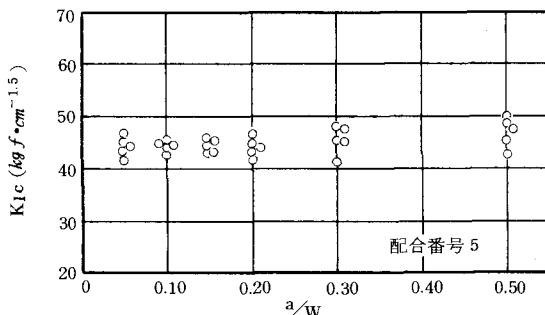


図-3  $K_{IC}$  と  $a/W$ との関係

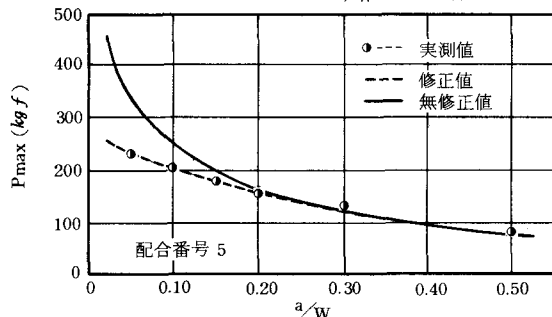


図-4  $P_{max}$  と  $a/W$ との関係

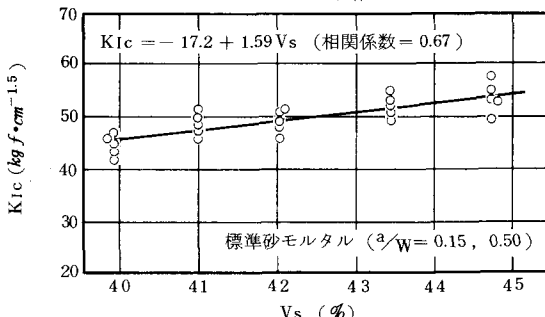


図-6  $K_{IC}$  と  $V_s$ との関係

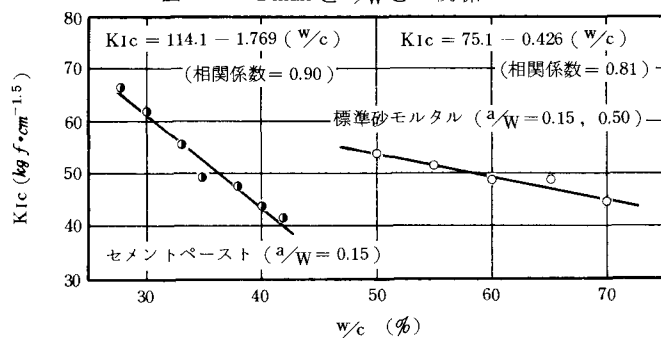


図-5  $K_{IC}$  と  $w/c$ との関係

#### <参考文献>

- 森田・加藤：セメント技術年報32，昭和53年12月, pp. 268~271.
- 森田：セメント技術年報34, 昭和55年12月, pp. 246~249.
- Brown,W.F. et al.: ASTM STP No. 410, 1966.
- Waddoups,M.E. et al.: J.Comp. Mat., 5, 1971, pp. 446~456.